



Figura 3.7.5.1. Lokalizacja sondowań magnetotellurycznych na tle mapy topograficznej-podkład-Mapa Topograficzna Polski źródło:<http://mapy.geoportal.gov.pl/wss/service/img/guest/TOPO/MapServer/WMSServer> -rejon badań -Wierchosławice; skala 1:25 000

 sondowanie magnetotelluryczne
 profil magnetotelluryczny



OBJAŚNIENIA BARW I SYMBOLI

- Torfy i namuły torfiaste
- Osady rzeczne w ogólności
- Gliny deluwialne z rumoszem skalnym
- Żwiry i piaski rzeczne tarasów 2-6 m n.p. rzeki
- Żwiry, piaski i rumosze gliniaste stożków aluwialnych
- Żwiry i piaski wodnolodowcowe
- Gliny zwałowe
- Piaskowce, mułowce i ilowce z wkładkami zlepierćów
- Zlepierće i łupki zielenicowe
- Piaski i żwiry tarasów 2-5m n.p. rzeki
- Żwiry, piaski gliny i mady tarasów 5-8 m n.p. rzeki (stadiał Warty)
- Gliny zwałowe na piaskach i żwirach wodnolodowcowych
- Fanglomeraty i piaskowce z wkładkami mułowców
- Tufy przeważnie pizolitowe
- Zwietrzliny czerwone
- Łupki pstre - jednostka Cieszowa
- Splyty - jednostka Cieszowa
- Łupki zlepierćowate cienkowarstewkowe miuejscami łupki zielenicowe z wkładkami łupków serycycowych (łzs) - jednostka Dobromierza
- Łupki serycycowe i chlorytowe miejscami z wkładkami łupków zielenicowych - jednostka Dobromierza
- Zielenice masywne i grubożłupkowe - jednostka Dobromierza

sondowanie magnetotelluryczne
 profil magnetotelluryczny

Figura 3.7.5.2. Lokalizacja sondowań magnetotellurycznych na tle Szczegółowej Mapy Geologicznej Sudetów - rejon: Wierzchosławice i Nagórnik, fragment arkuszy: M-33-45-A-c MARCISZÓW opracowali: Z CYMERMAN, K. MASTALERZ-1994 r., i M-33-45-A-d STARE BOGACZOWICE, opracował-H. TEISSEYRE, 1969r., skala 1:25 000

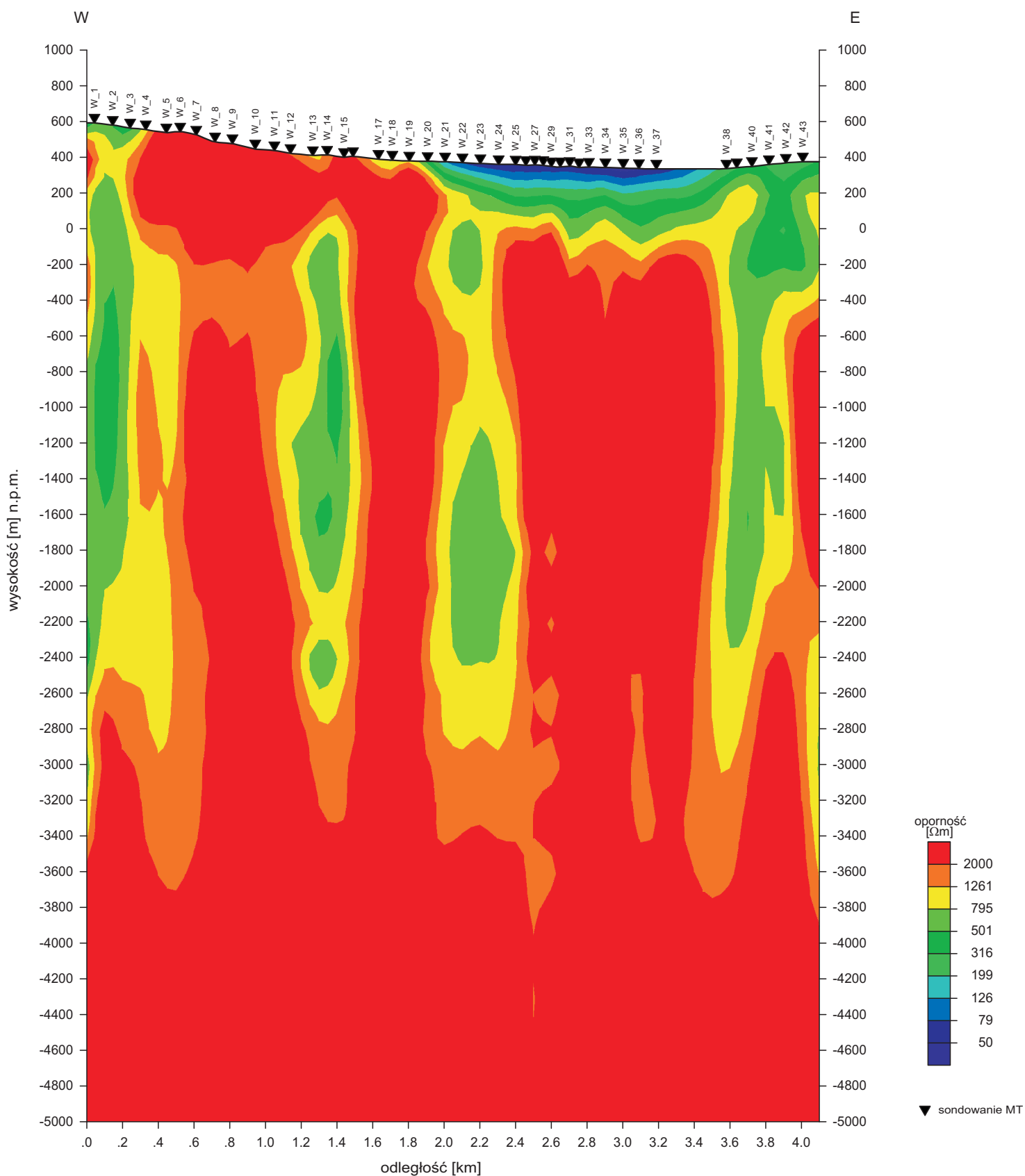


Figura 3.7.5.3. Rozkład oporności wzdłuż profilu 1-W-18 Wierzchosławice na podstawie inwersji 1D wg algorytmu Occama dla polaryzacji magnetycznej

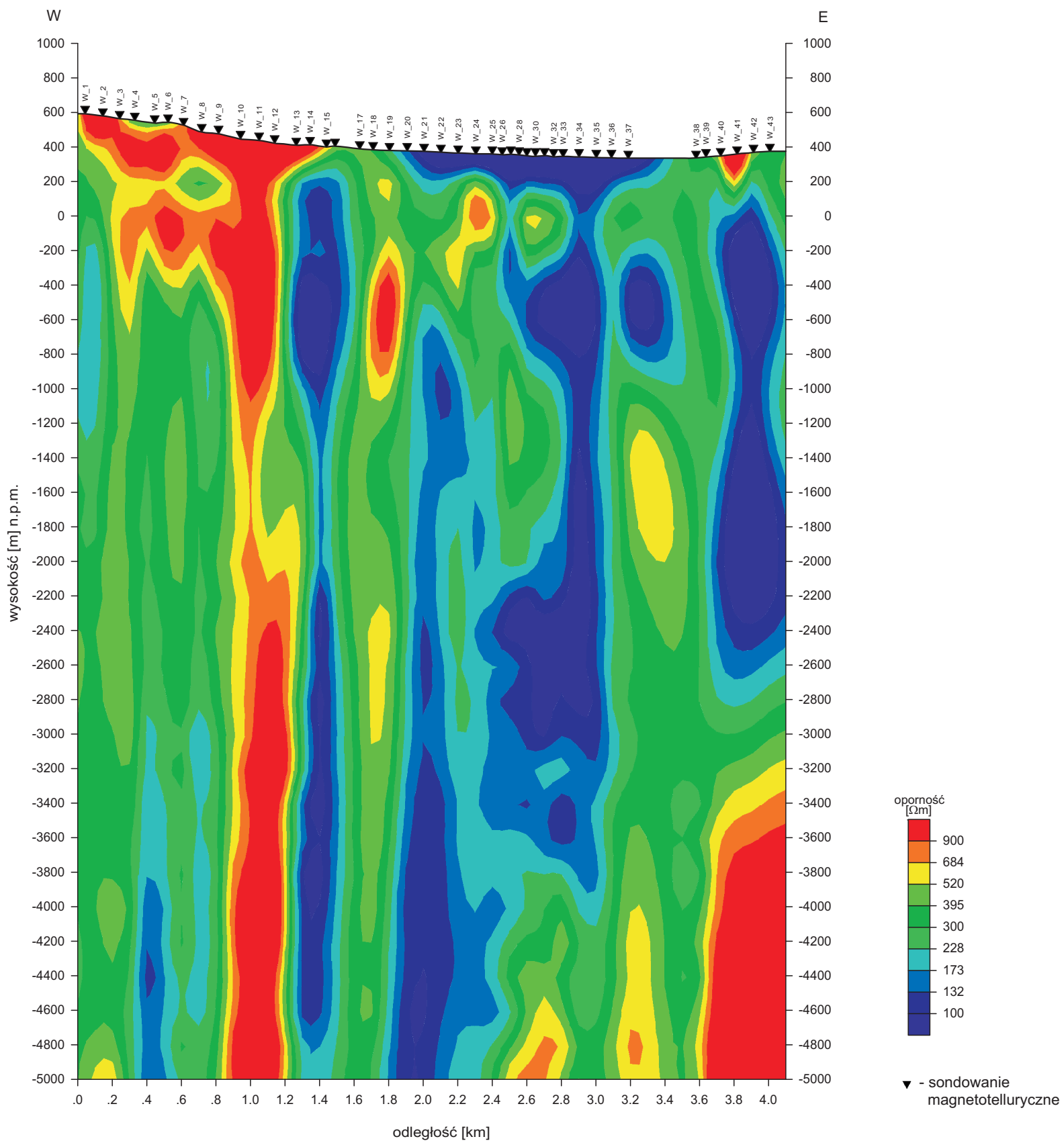


Figura 3.7.5.4. Rozkład oporności wzdłuż profilu 1-W-18 Wierzchosławice na podstawie inwersji 1D wg algorytmu Occama dla polaryzacji elektrycznej

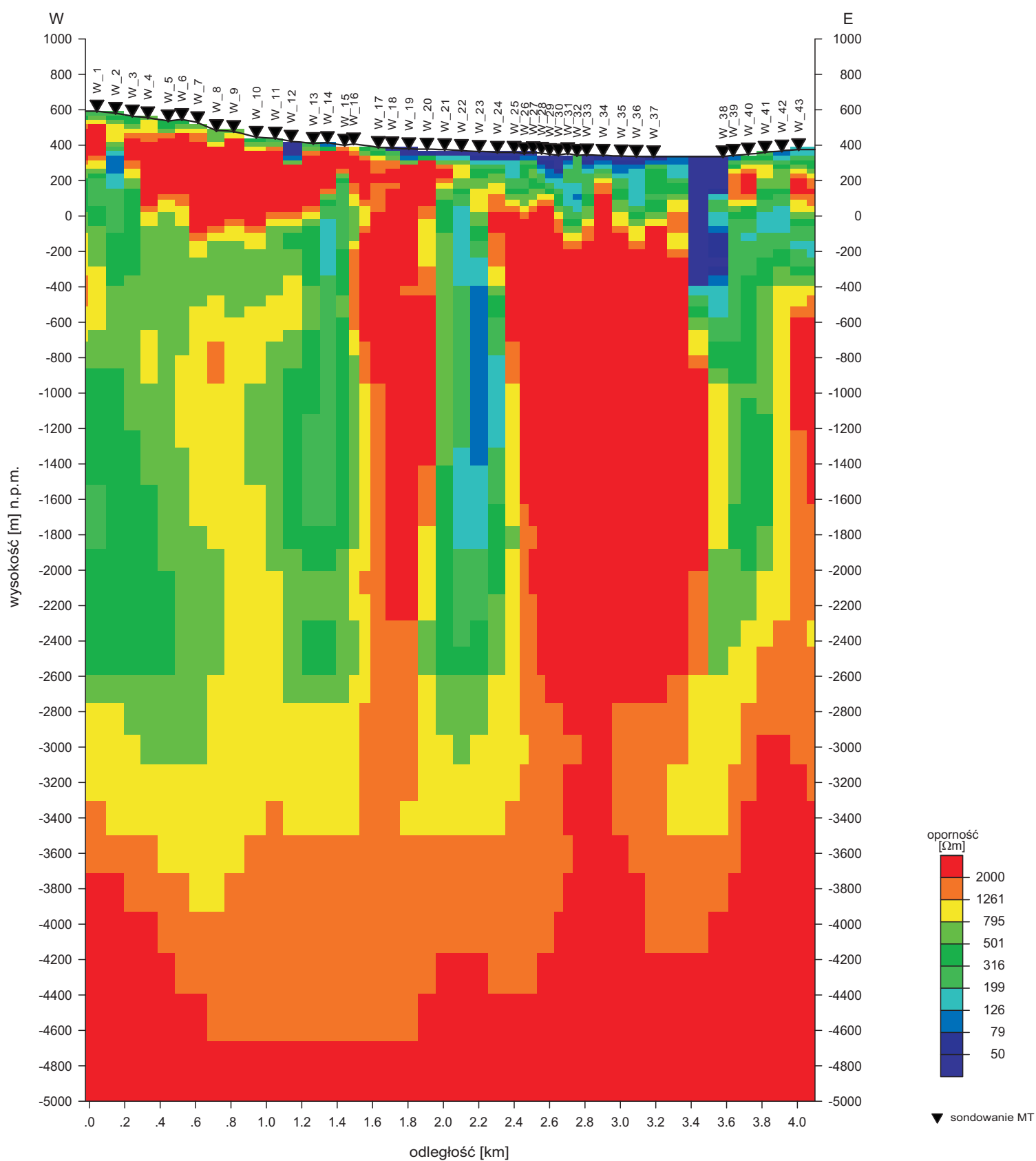


Figura 3.7.5.5. Rozkład oporności wzdłuż profilu 1-W-18 Wierchosławice na podstawie inwersji 2D wg algorytmu NLCCG

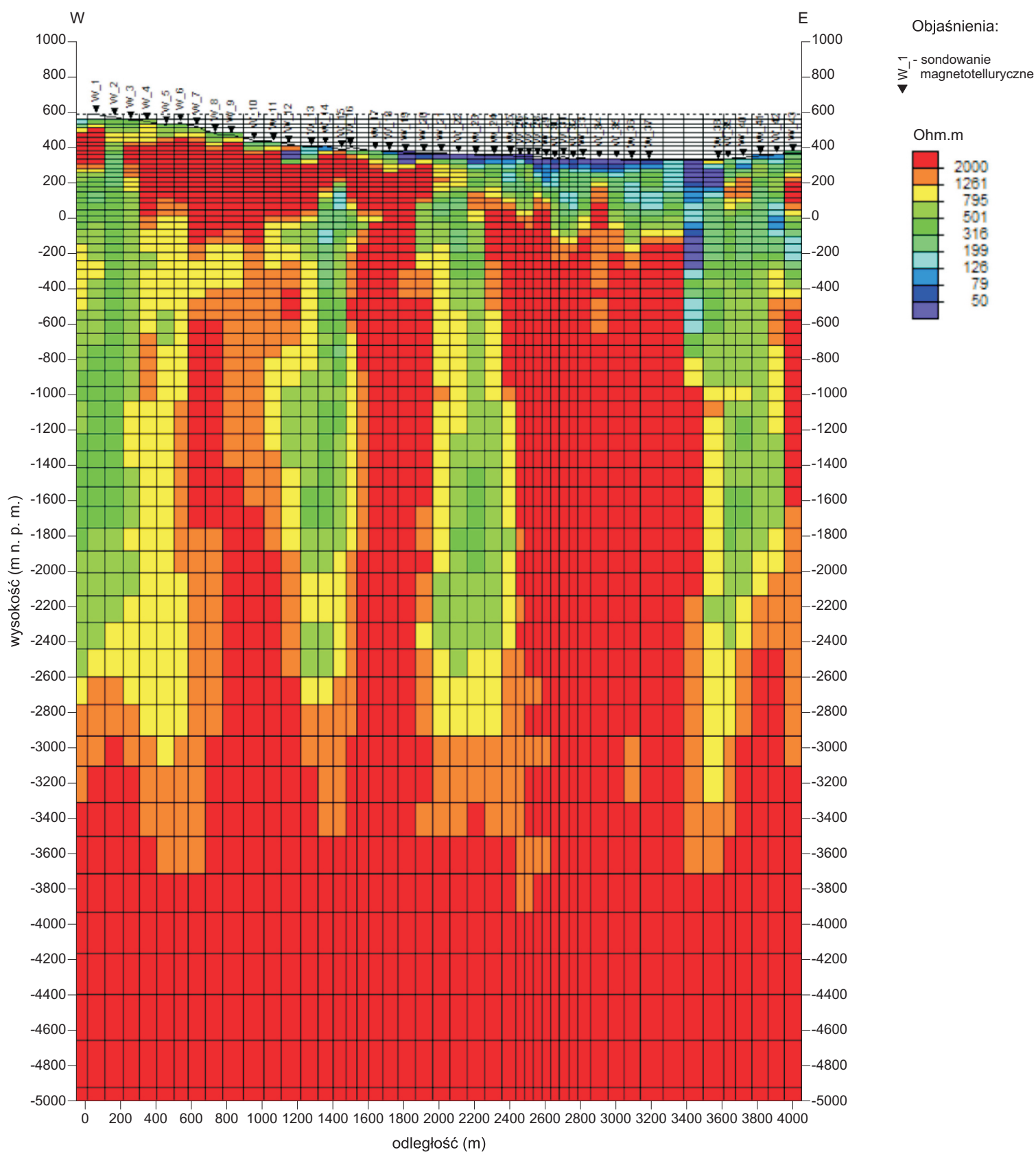


Figura 3.7.5.6a Rozkład oporności wzdłuż profilu 1-W-18 Wierzchosławice na podstawie inwersji 2D wg algorytmu NLCG (iteracja 3)

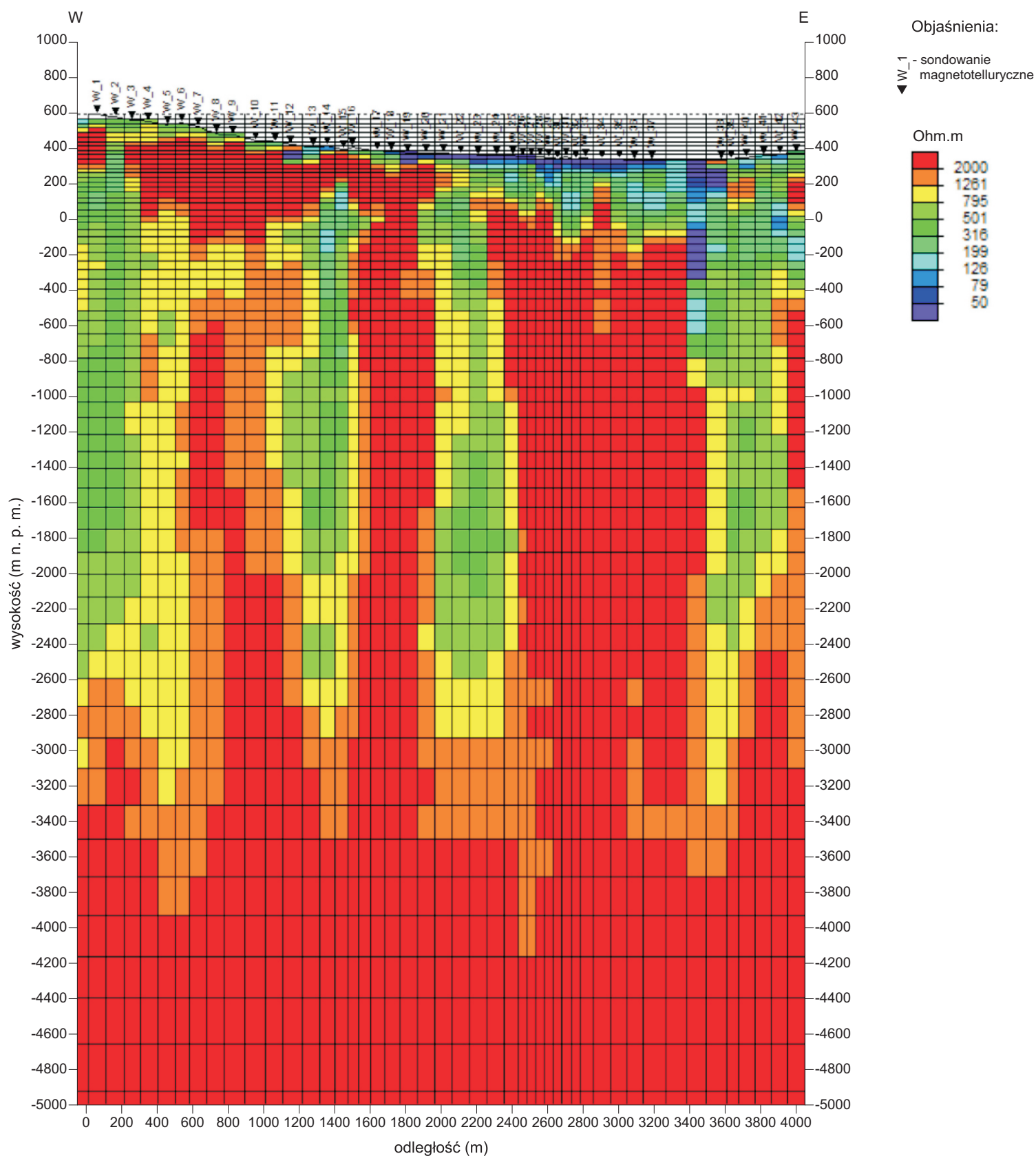


Figura 3.7.5.6b Rozkład oporności wzdłuż profilu 1-W-18 Wierzchosławice na podstawie inwersji 2D wg algorytmu NLCG (iteracja 6)

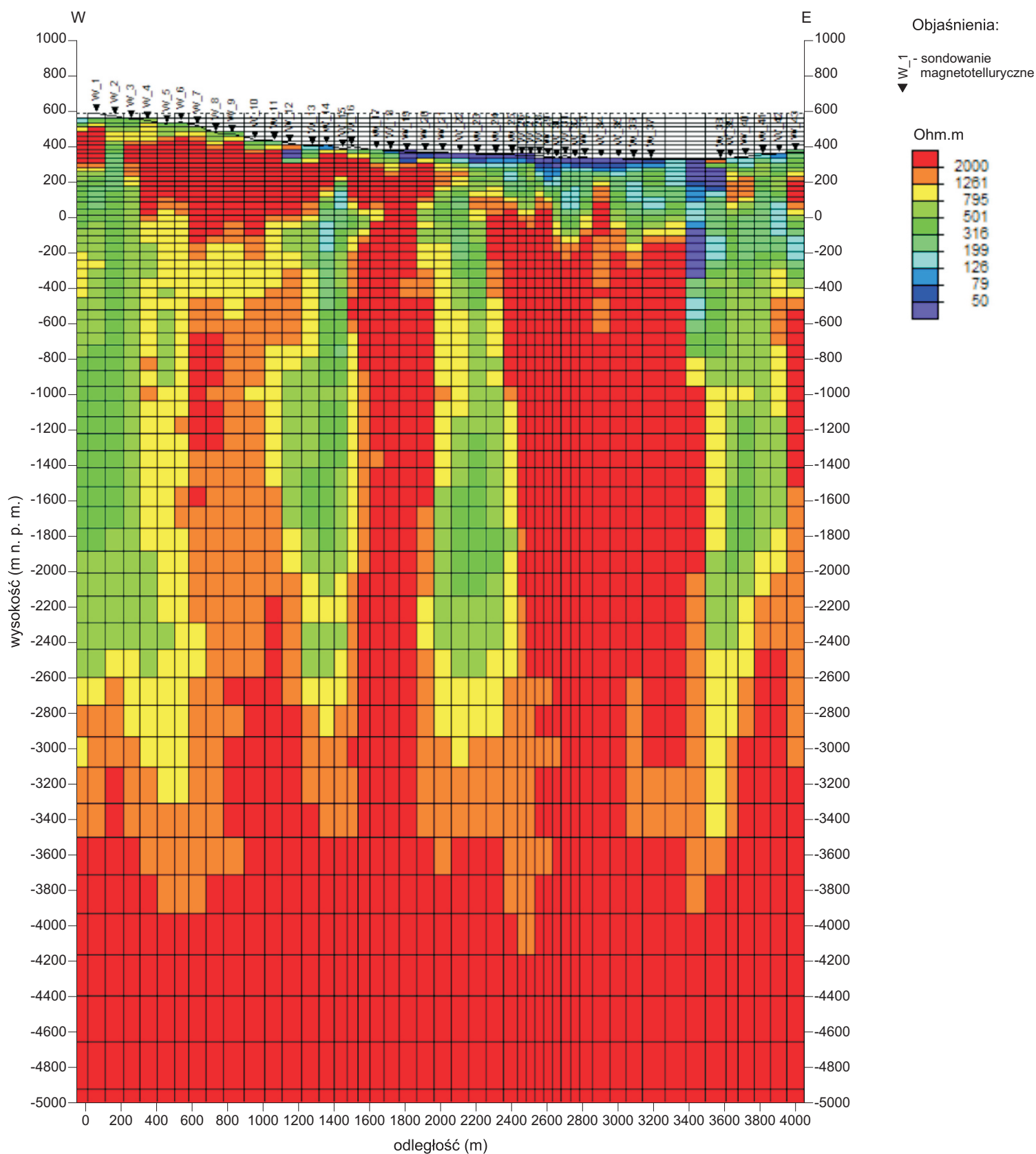


Figura 3.7.5.6c Rozkład oporności wzdłuż profilu 1-W-18 Wierchosławice na podstawie inwersji 2D wg algorytmu NLCG (iteracja 9)

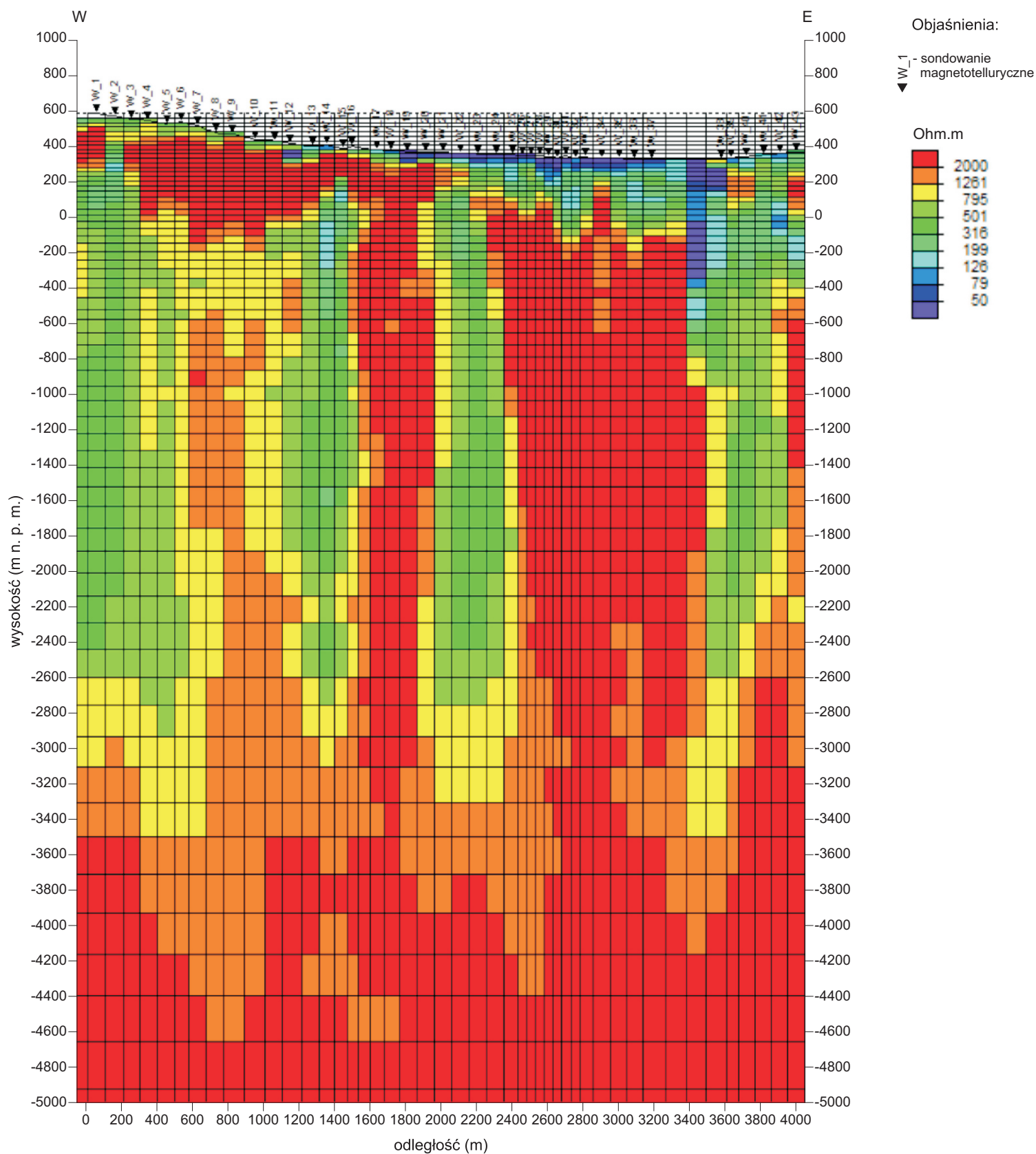


Figura 3.7.5.6d Rozkład oporności wzdłuż profilu 1-W-18 Wierzchosławice na podstawie inwersji 2D wg algorytmu NLCG (iteracja 12)

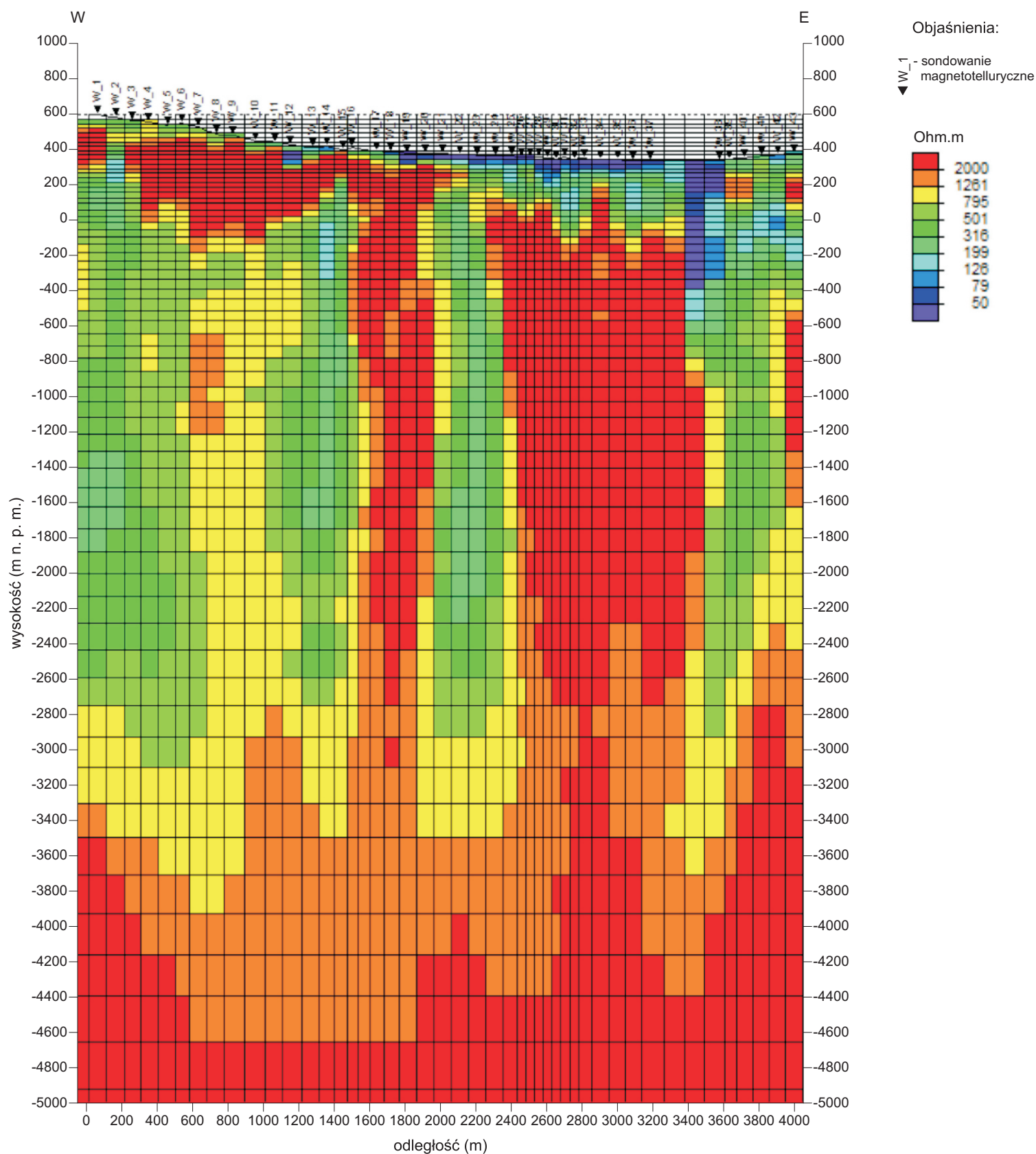


Figura 3.7.5.6e Rozkład oporności wzdłuż profilu 1-W-18 Wierzchosławice na podstawie inwersji 2D wg algorytmu NLCG (iteracja 15)

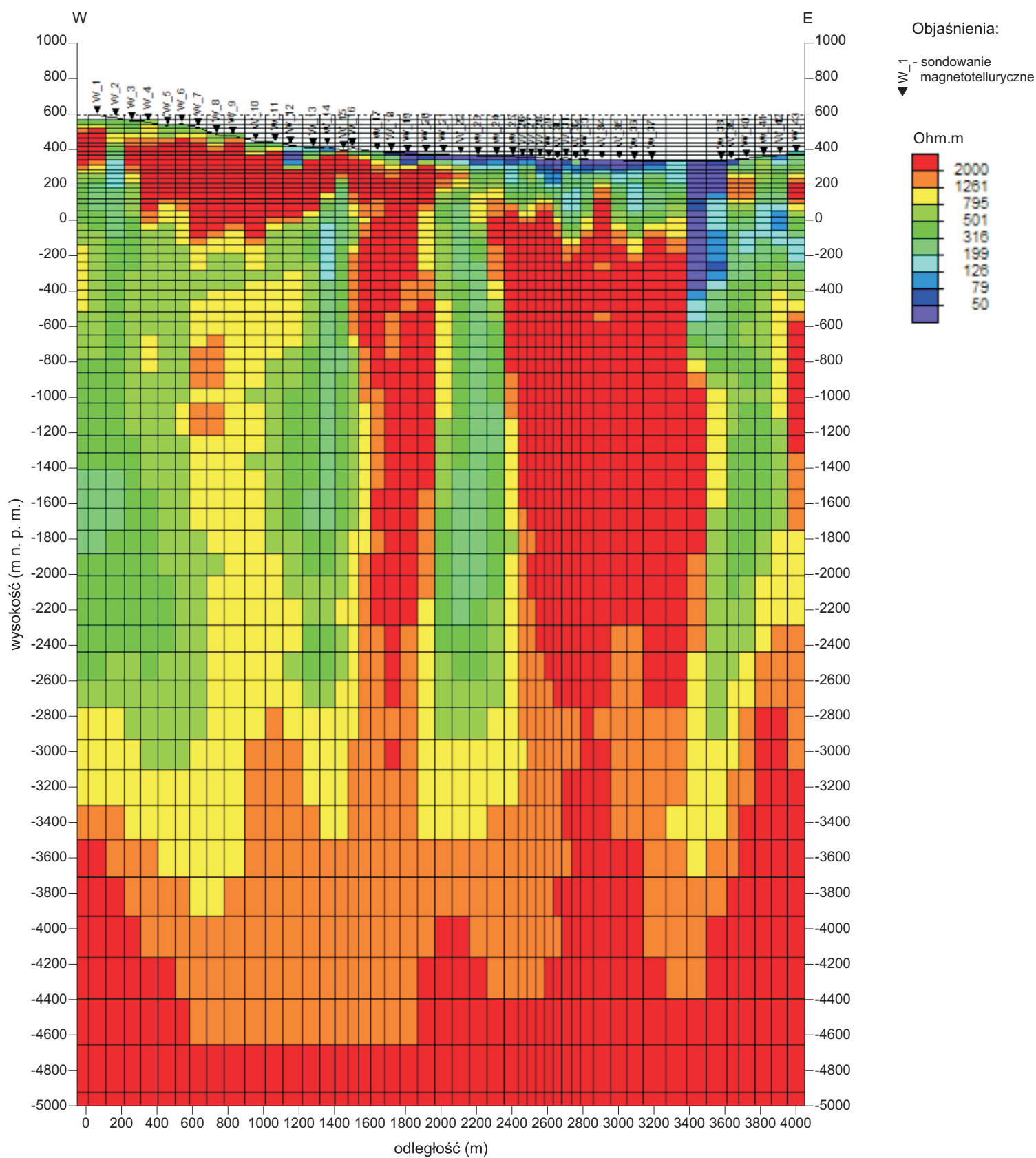


Figura 3.7.5.6f Rozkład oporności wzdłuż profilu 1-W-18 Wierzchosławice na podstawie inwersji 2D wg algorytmu NLCG (iteracja 18)

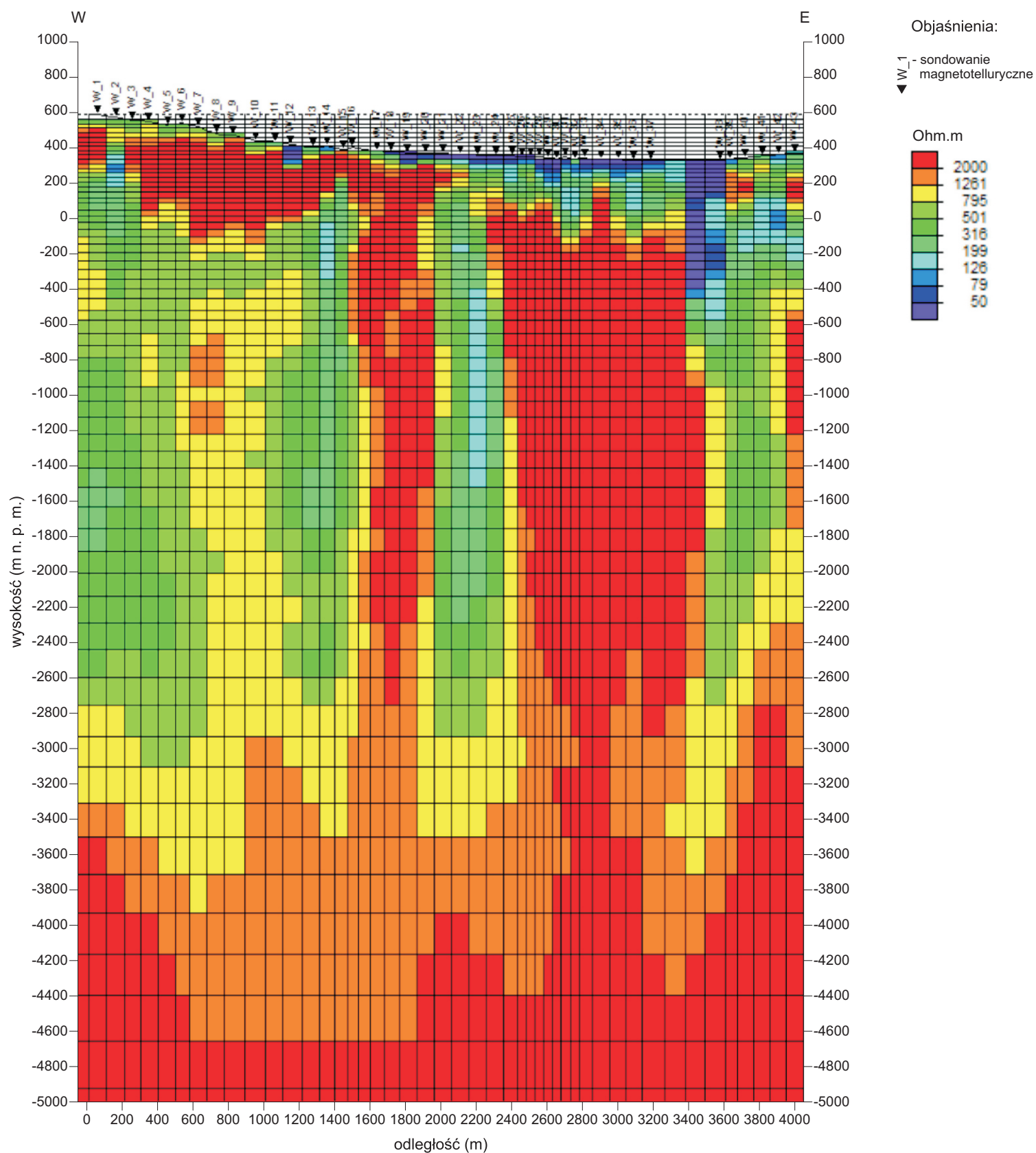


Figura 3.7.5.6g Rozkład oporności wzdłuż profilu 1-W-18 Wierzchosławice na podstawie inwersji 2D wg algorytmu NLCG (iteracja 21)

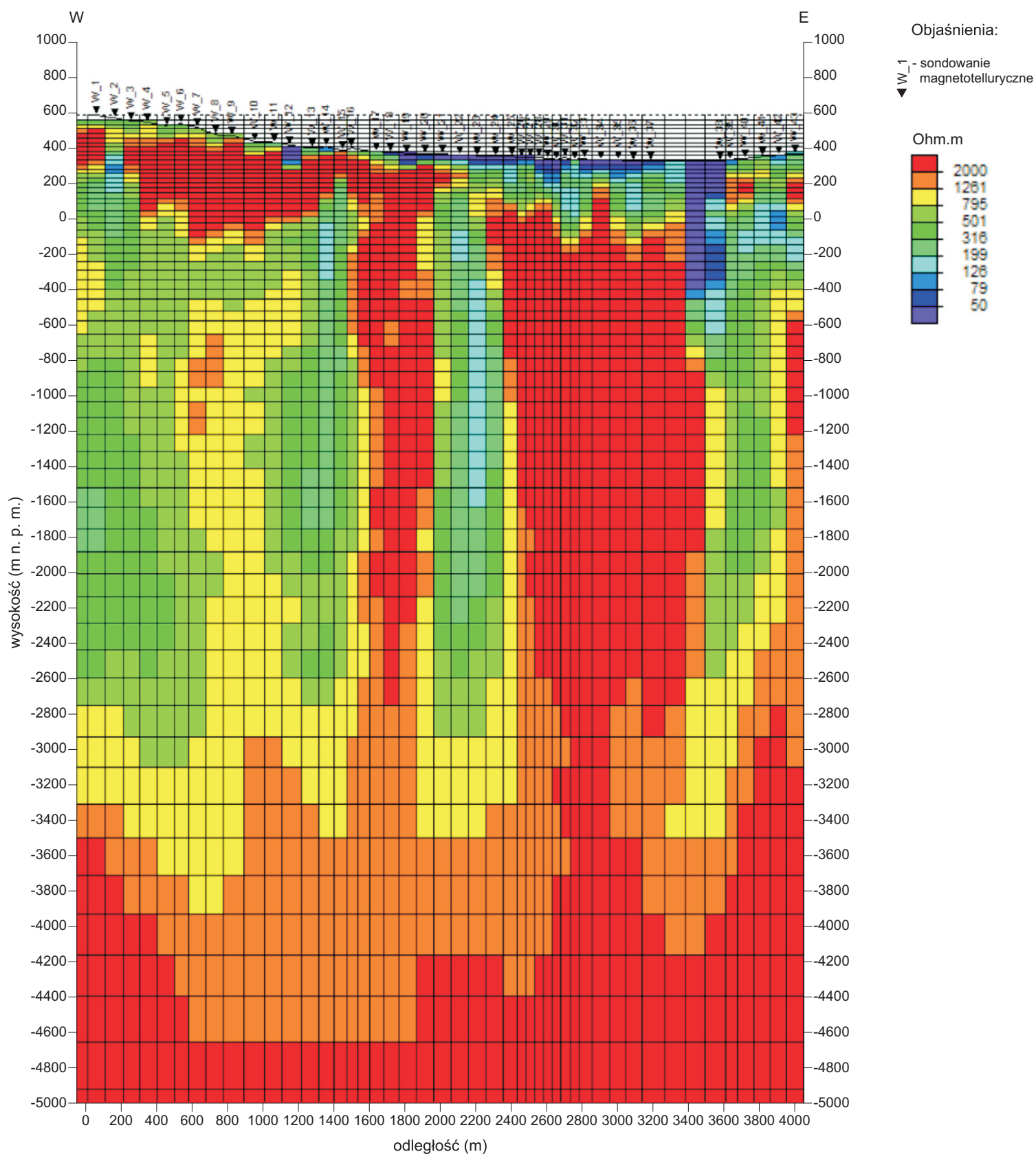


Figura 3.7.5.6h Rozkład oporności wzdłuż profilu 1-W-18 Wierzchosławice na podstawie inwersji 2D wg algorytmu NLCG (iteracja 24)

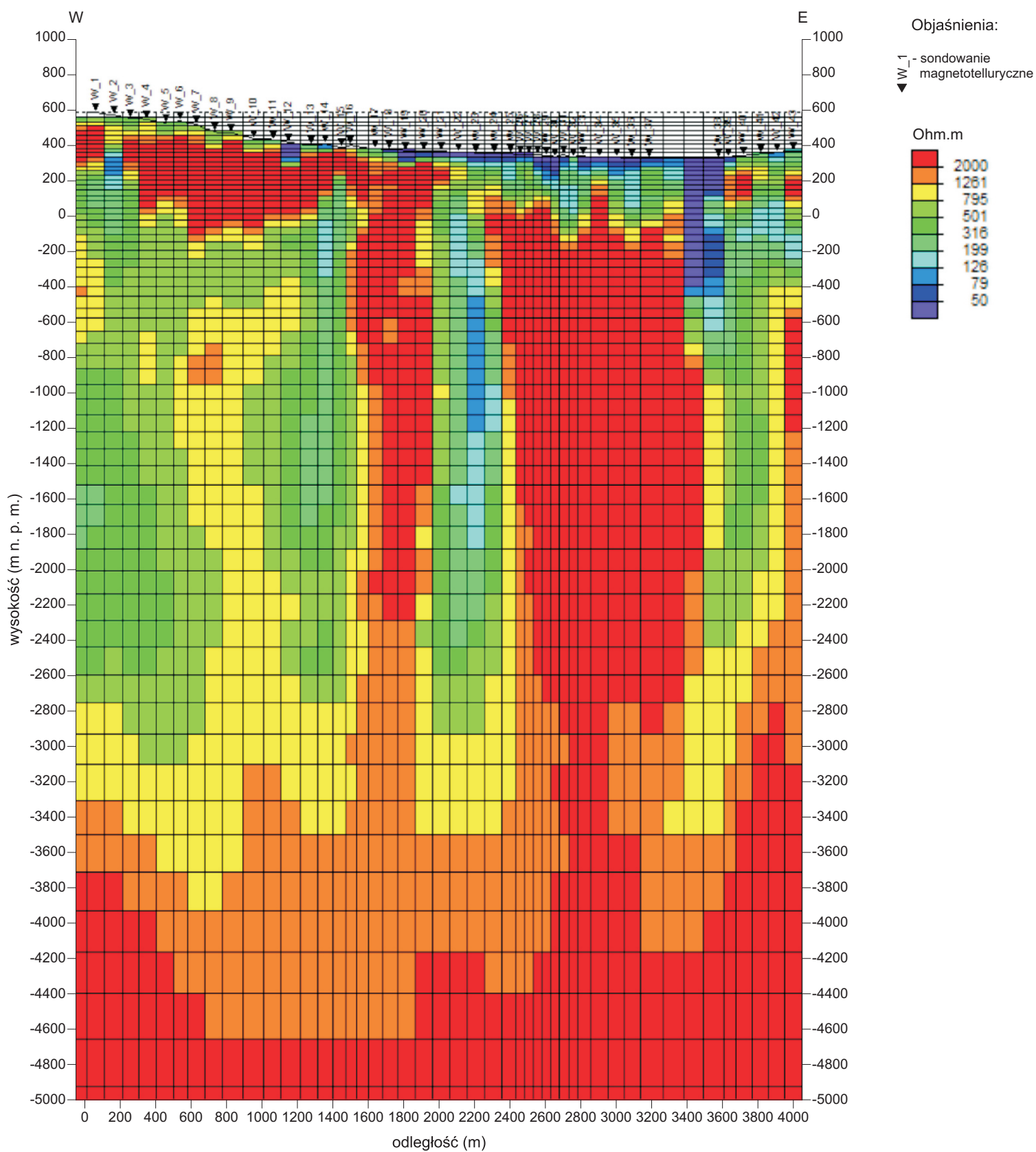


Figura 3.7.5.6i Rozkład oporności wzdłuż profilu 1-W-18 Wierchosławice na podstawie inwersji 2D wg algorytmu NLCG (iteracja 27)

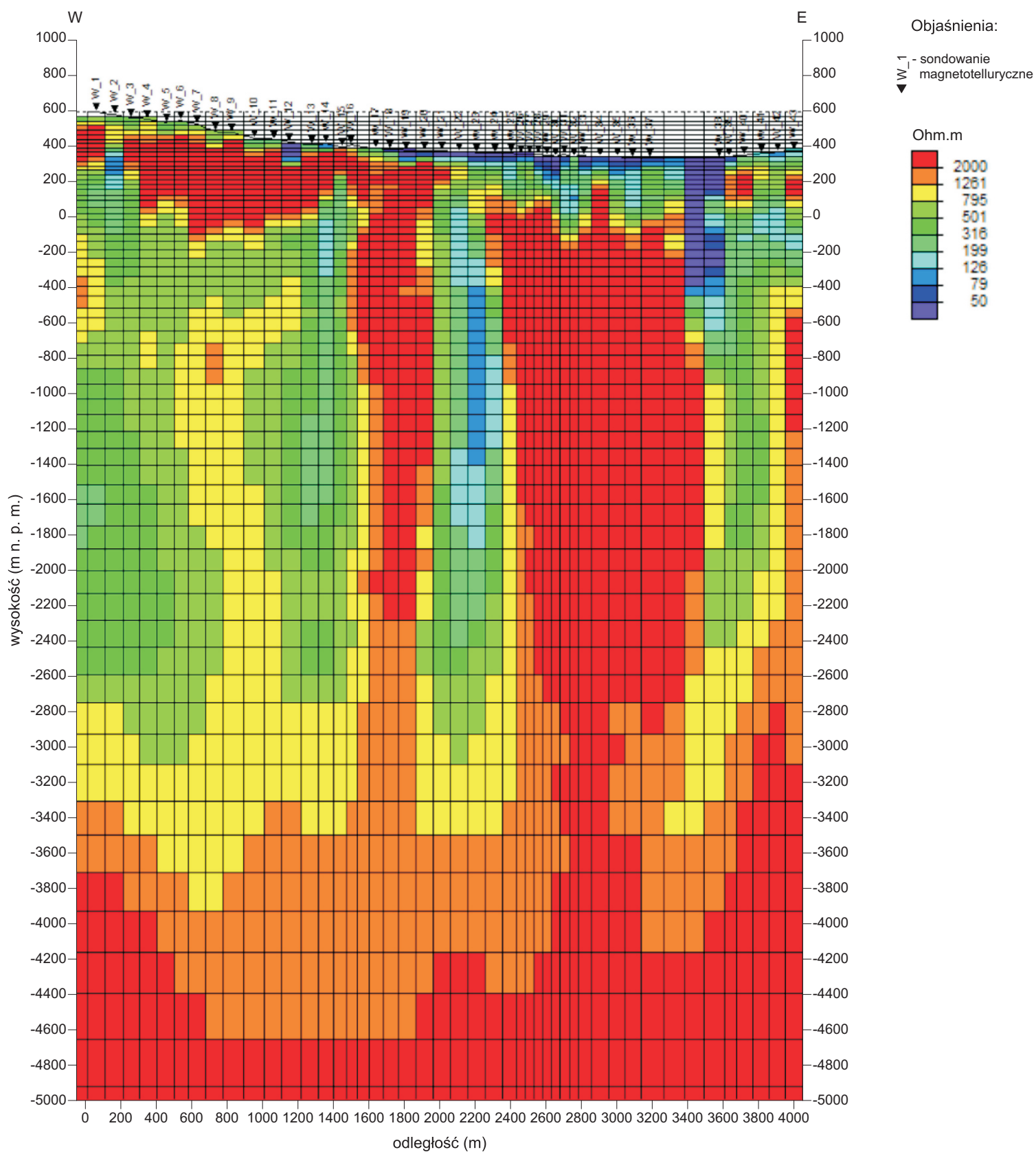


Figura 3.7.5.6j Rozkład oporności wzdłuż profilu 1-W-18 Wierzchosławice na podstawie inwersji 2D wg algorytmu NLCG (iteracja 30)

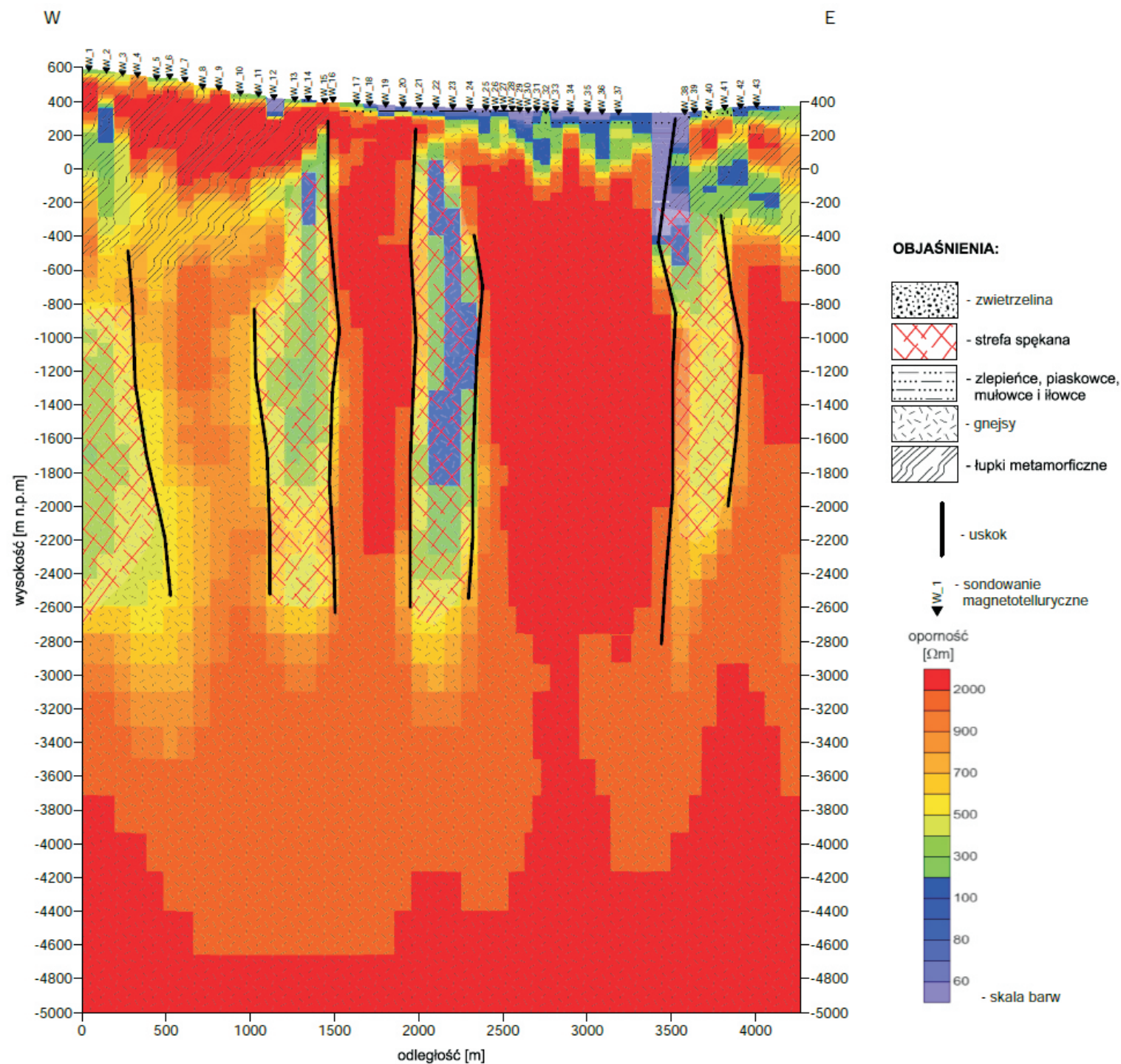


Figura 3.7.5.7. Interpretacja geologiczna wzdłuż profilu 1-W-18 Wierchosławice wykonana na podstawie rozkładu oporności uzyskanego w wyniku inwersji 2D wg algorytmu NLCG oraz danych geologicznych